

## บทที่ 2

### หดหุ้มวีทีเกียร์ช้อส

#### 2.1 ความรู้เบื้องต้นเกี่ยวกับการรีบูปหน้ากากวีทีแบบเดิน

หน้ากากวีทีเป็นนิยมผลิตจากเหล็กกล้าไร้สนิมหรือดีเคนเลสฟ์การใช้เหล็กกล้าไร้สนิม AISI304 ใน การผลิตมีการประดานตะเข็บรายต่อป้องกันการทำร้าวซึ่งมีตั้งแต่กระบวนการบัดกรีอ่อน ( รูปที่ 2.1 ) ถึง รัสตุบัดกรี มีส่วนผสมของตะกั่วและตีบุกในอัตราส่วนประมาณ 60 ถึง 40 ร้อยละกําของวัสดุที่ได้รับนี้ เองสามารถลดระยะเวลาปั๊มน้ำให้ต่ำลงมาในนํ้าได้ที่อุณหภูมิห้องประมาณ 190 องศาเซลเซียส ซึ่งสามารถลดเวลาในการติดตั้งเพิ่มขึ้นอย่างมาก แต่ต้องคำนึงถึงความปลอดภัยของนุษชย์นักงานนี้ยังพบว่า ตะกั่วที่ สะสมในบริเวณน้ํออย แต่ตะกั่วเป็นสารงานจะทำให้ระดับติดไฟนูบยาลดลง หรือมีอคิดต่ำกว่าเดิม ปกติแล้วที่สำคัญกว่านั้นคือพิษจากสารตะกั่วจะถูกให้เกิดโดยรวมถึงตะกั่วจะไปทำลายระบบ ประสาทส่วนปลายทำให้เป็นขั้นพาราทีนิวเท้าและมือ ทำลายเซลล์สมอง ทำลายการทำงานของไส้กระดูก เป็นผลร้ายแก้ไขยากภาพถือด้วย [1]

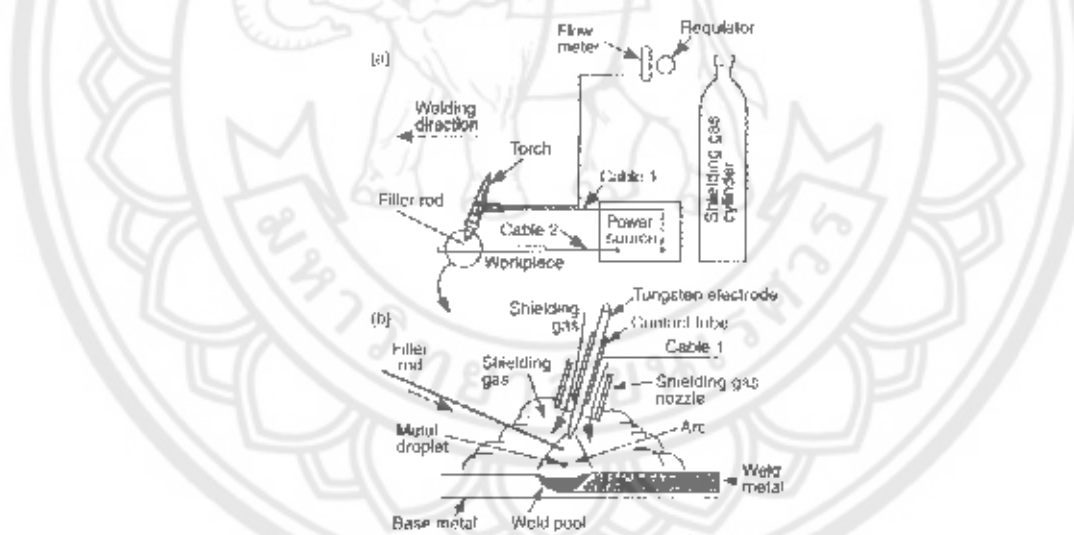


รูปที่ 2.1 แสดงการเรือนหน้ากากวีทีแบบเดิน

## 2.2 การเชื่อม Gas Tungsten Arc Welding (GTAW) หรือการเชื่อมแบบหก

การเชื่อม Gas Tungsten Arc Welding นี้ยกได้ถืออย่างหนึ่งจากการเชื่อมแบบหก (Tungsten Inert Gas Welding) การเชื่อมแบบหกเป็นการเชื่อมที่ไม่มีการสูญเสียอิเล็กโทรดตั้งนั้นในการเชื่อม โดยจะด้วยวิธีการเชื่อมแบบหกจึงต้องให้โอลูมเดินจากภายนอก รูปที่ 2.2 และดูอุปกรณ์ที่ใช้ในการเชื่อมแบบหกและลักษณะของการเชื่อมหก จากรูปที่ 2.2 จะเห็นว่า Torch (หัวเชื่อมหก) จะมีลักษณะที่ขึ้นช้อนเมื่อเทียบกับการเชื่อมตั้งก็แก๊สคันเซนต์ หรือการเชื่อมแบบ SMAW โดยภายในหัวเชื่อมจะประกอบด้วย 3 ส่วนที่สำคัญคือ

1. อิเล็กโทรดหั้งสตีเคน ซึ่งทำหน้าที่เป็นแหล่งให้ความร้อนในการเชื่อม
2. Contact tube ทำหน้าที่ระบายความร้อนของ Electrode ให้ Contact tube นั้นทำจากทองแดงซึ่งมีความต้านทานไฟฟ้ามากกว่าความต้านไฟด้วยและมีน้ำหนักเบาเพื่อเปลี่ยนต่อติดเวลา
3. Shielding gas nozzle ทำหน้าที่ในการปล่อยแก๊สปกคลุมรอยเชื่อมโดยในการเชื่อมหกจะใช้ก๊าซเช่น ออกซิเจน ออกซิเจน หรือ อิเดียม ในกระบวนการปกคลุมรอยเชื่อมช้าไฟฟ้าในการเชื่อม [2]



รูปที่ 2.2 การเชื่อมแบบ GTAW

(a) อุปกรณ์ที่ใช้ในการเชื่อมแบบ GTAW

(b) ลักษณะการเชื่อมแบบ GTAW

(ที่มา : ASM Metals Handbook Volume 6 Welding, brazing and soldering, ASM International)

## **2.2.1 ชี้วิไฟฟ้าของอิเล็กโทรดที่ใช้ในการเชื่อมทิกมีความสำคัญต่อสมบัติของการเชื่อมทิกอย่างมากโดยในการเชื่อมทิกจะมีการเลือกใช้ชี้วิไฟฟ้า 3 ชนิดคือ**

### **2.2.1.1 Direct Current Electrode Negative (DCEN)**

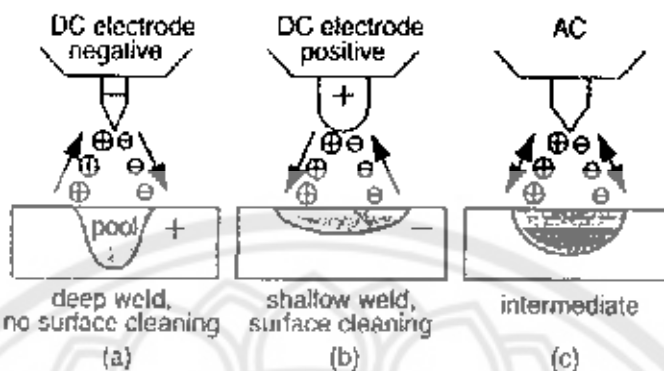
รูปที่ 2.3 a แสดงตัวอย่างของหัวอิเล็กโทรดแบบ DCEN โดย DCEN จะใช้อายากว้างของในการเชื่อมทิกโดยการเชื่อม DCEN อิเล็กโทรนจะวิ่งจากอิเล็กโทรดเข้าสู่ชิ้นงานซึ่งส่งผลให้รอยเชื่อมมีการซึมลึกที่ตื้นและออกจากน้ำตื้น tungsten ยังมีการสักนราอ้อย

### **2.2.1.2 Direct Current Electrode Positive (DCEP)**

รูปที่ 2.3 b แสดงตัวอย่างของหัวอิเล็กโทรดแบบ DCEP โดยการเชื่อมชนิด DCEP อิเล็กโทรนจะวิ่งจากชิ้นงานเข้าสู่ปลายของอิเล็กโทรดโดยบริเวณรอยเชื่อมที่ได้จากการเชื่อมแบบ DCEP จะมีการซึมลึกตื้นแต่รอยซึมลึกที่ได้จะมีขนาดกว้างกว่าการเชื่อมที่ใช้วิธีแบบ DCEN การที่อิเล็กโทรนในการเลือกใช้วิธีการเชื่อมแบบ DCEP วิ่งจากชิ้นงานเข้าสู่ปลายอิเล็กโทรดนั้นทำให้อิเล็กโทรดที่มีริ้วแบบ DCEP มีความร้อนในขณะการใช้งานสูงกว่าอิเล็กโทรดชนิด DCEN ดังนั้นการเชื่อมแบบ DCEP จึงจำเป็นต้องใช้อิเล็กโทรดที่มีนานาด้วยกันในการเชื่อมแบบ DCEN ตลอดจนป้ายหางคิลล์อิเล็กโทรดจะต้องมีมุมที่ปลายให้ใหญ่กว่าในการเชื่อมแบบ DCEN และนอกจานี้ก็จำเป็นต้องมีระบบหล่อเย็นที่ดีเพื่อป้องกันการหลอมของหัวอิเล็กโทรดในระหว่างการทำางานการเชื่อมแบบ DCEP นิยมใช้ในการเชื่อมอะลูมิเนียมหรือแมกนีเซียม ซึ่งมีการเกิดพิล์มออกไซด์ได้ปาน โดยการเคลื่อนที่ของอิเล็กโทรนจากชิ้นงานเข้าสู่ปลายของหัวอิเล็กโทรดจะทำให้พิล์มออกไซด์ที่เทenze ของญี่ปุ่นผิวโลหะหลอมเหลวแตกออก นอกจากนี้การหลุดออกของพิล์มออกไซด์ การเชื่อมแบบ DCEP ยังเกิดขึ้นเมื่อจากในไอนอกทนหนักของอากาศที่ใช้ในกระบวนการปั๊กคุณภาพเชื่อมกระแทกตัวรูปที่ 2.4

### **2.2.1.3 Alternating Current (AC)**

รูปที่ 2.3 c แสดงตัวอย่างของหัวอิเล็กโทรดชนิด AC โดยหัวอิเล็กโทรดชนิด AC จะนิยมใช้ในการเชื่อมโลหะผสมอะลูมิเนียมในงานที่ต้องการภาชนะซึมลึกที่ลึกออกเหนือจากต้องการความระดับ [3]



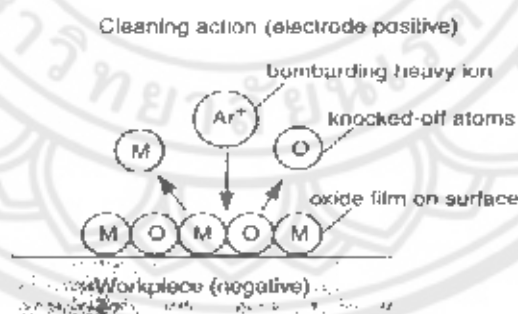
รูปที่ 2.3 แสดงขั้วอิเล็กโทรดที่ใช้ในการเชื่อมพิก

(a) ขั้วอิเล็กโทรดแบบ DCEN

(b) ขั้วอิเล็กโทรดแบบ DCEP

(c) ขั้วอิเล็กโทรดแบบ AC

(ที่มา : บริษัทญี่ปุ่นชั้นนำในITOJEUN ต่อปริมาณโครงสร้างเพื่อไวท์และความต้านทานการกัดกร่อนของแนวเชื่อมเหล็กกล้าไร์สันมอลติเพลสิกซ์ที่มีส่วนผสมโคโรเมียม 28% นิกเกิล 7%, ไนซิต วงศ์ปันแก้ว)



รูปที่ 2.4 แสดงการหดออกของพิล์มออกไซด์ในการเชื่อมด้วยอิเล็กโทรดแบบ DCEP

(ที่มา : บริษัทญี่ปุ่นชั้นนำในITOJEUN ต่อปริมาณโครงสร้างเพื่อไวท์และความต้านทานการกัดกร่อนของแนวเชื่อมเหล็กกล้าไร์สันมอลติเพลสิกซ์ที่มีส่วนผสมโคโรเมียม 28% นิกเกิล 7%, ไนซิต วงศ์ปันแก้ว)

### 2.2.2 กําชปักกาม Shielding Gas

ก้าวที่ใช้ในการเรียนทิภาคีเป็นส่วนที่สำคัญสำหรับการเรียนทิภาคีต่างๆ ที่ 2.1 แลงดงสมบัติของก้าวปักคุณที่ใช้ในการเรียนทิภาคีโดยทั่วไปการเรียนทิภาคีนิยมใช้ก้าวอาจารย์สอน และสืบสืบยมเป็นก้าวปักคุณในการเรียนโดยก้าวอาจารย์สอนนิยมใช้มากที่สุดในการเรียนทิภาคี เมื่อจะจากก้าวอาจารย์สอนมีน้ำหนักมากกว่าก้าวที่ใช้เพียงทำให้การปักคุณของก้าวอาจารย์สอนทำได้ดีกว่าก้าวที่ใช้เพียงน้อยจากนี้ก้าวอาจารย์สอนยังมีพัฒนาในการถูกใจสอนในเรื่องต่างๆ ที่มาจากก้าวที่ใช้เพียงทำให้ก้าวอาจารย์สอนมีภาพทักษะของศักยภาพที่ดีกว่าก้าวที่ใช้เพียง และนอกจากนี้ก้าวอาจารย์สอนยังมีราศีบูรพาที่กว้างก้าวที่ใช้เพียง โดยทั่วไป ก้าวอาจารย์สอนจะนิยมใช้ในการเรียนทิภาคีโดยทั่วไปแต่ในการเรียนทิภาคีแบบอัตโนมัติจะนิยมใช้ก้าวที่ใช้เพียงเป็นก้าวปักคุณการเรียนเนื่องจากก้าวที่ใช้เพียงมีพัฒนาในทางที่ดีขึ้นเป็นสูง ทำให้ความไวต่อการเปลี่ยนแปลงระยะต่อครั้ง การเปลี่ยนแปลงระยะต่อครั้งที่ใช้ก้าวที่ใช้เพียงเป็นก้าวปักคุณจะไม่ส่งผลกระทบต่อการเรียนมากนัก [3]

ตารางที่ 2.1 ตัวอย่างการทํางานที่ใช้ในภาคฟกชุมชนยุคใหม่ [3]

Gas	Chemical Symbol	Molecular Weight (g/mol)	Specific Gravity with Respect to Air at 1 atm and 0°C	Density (g/L)	Ionization Potential (eV)
Argon	Ar	39.95	1.38	1.784	15.7
Carbon dioxide	CO <sub>2</sub>	44.01	1.53	1.978	14.4
Helium	He	4.00	0.1368	0.178	24.5
Hydrogen	H <sub>2</sub>	2.016	0.0695	0.090	13.5
Nitrogen	N <sub>2</sub>	28.01	0.967	1.25	14.5
Oxygen	O <sub>2</sub>	32.00	1.105	1.43	13.2

(ที่มา : บริษัทภูมิพนธ์ ผลของไม้ไผ่เจ่นต่อปริมาณโครงสร้างเพื่อไวไฟและความต้านทานการกัดกร่อนของแนวเชือกเหตุกล้าม้าไวไฟนิมดูเพลสิกซ์ที่มีส่วนผสมโครงเมียม 28% นิกเกิต 7%, โซเดียม 1%

### 2.2.3 ข้อดีและข้อเสียของการเชื่อมทิก

การเชื่อมทิกเป็นกระบวนการเชื่อมที่ใช้ความร้อนโดยสามารถเชื่อมได้ในแบบ reactive เช่น ไฟฟ้ากระแสเม็ดเดือยและอะลูมิเนียมหล่อหกตัวหมายความว่าการเชื่อมเหล็กกล้าไร้สนิม โดยร้อยเข็มที่ได้จากการเชื่อมทิกจะมีคุณภาพสูงจากงานนี้ในการเชื่อมชิ้นงานที่มีขนาดบางก็สามารถเชื่อมได้โดยไม่จำเป็นต้องใช้จุดเชื่อมเติมแต่การเชื่อมทิกก็มีข้อจำกัดที่สำคัญหลายประการเช่น ไม่สามารถเชื่อมชิ้นงานที่มีคุณภาพมากได้ เนื่องจากข้อจำกัดจากการอิเล็กโทรดที่ใช้ในการเชื่อมทิกไม่สามารถทนการเชื่อมที่ใช้พลาสติกสูงมากได้เนื่องจากจะทำให้อิเล็กโทรดที่ใช้ในการเชื่อมทิกไม่สามารถทนการเชื่อมที่ใช้พลาสติกสูงมากได้เนื่องจากจะทำให้อิเล็กโทรดเกิดการหลอมละลายจากความร้อนสะสมที่เกิดจากการทำงาน นอกจากนี้การที่อุปกรณ์ที่ใช้ในการเชื่อมทิกมีความซับซ้อนและมีขนาดใหญ่ทำให้การเชื่อมทิกนักสถานที่ทำได้ยากและราคาอุปกรณ์ เชื่อมทิกมีราคาสูง [3]

### 2.3 เหล็กกล้าไร้สนิม (stainless steel)

เหล็กกล้าไร้สนิม (stainless steel) เป็นอัลลอยของเหล็ก (iron-base alloys) ที่มีคุณสมบัติต้านทานต่อการกัดกร่อนได้ดูงดกว่าเหล็กทั่วไป จึงทำให้มันเป็นสิ่งสามารถนำมาใช้ประโยชน์ได้มากน้อยในชีวิตประจำวันอาทิวัสดุหัตถกรรม อุปกรณ์ทำครัว อุปกรณ์ทางการแพทย์และเครื่องเพอร์เซอร์ต่างๆเหล็กกล้าไร้สนิมทำมาจากเหล็ก (Fe) ซึ่งมีส่วนประกอบทางเคมีอยู่ในปริมาณเล็กน้อยได้แก่ คาร์บอน (C) แมงกานีส (Mn) ฟอสฟอรัส (P) และกัมมาลีน (S) เมื่อเหล็กสามารถถูกกัดกร่อนแล้วชนิดเป็นสนิมได้ง่ายจึงนำเหล็กมาผ่านกระบวนการเติมโลหะบางชนิดเข้าไปโดยเมียม (Cr) นิเกลี่ต์ (Ni) หรือวานาเดียม (V) ลงเป็นทำให้คุณสมบัติของเหล็กดีขึ้นและไม่เป็นสนิมง่ายโดยที่มักเติมลงไปในปริมาณมากเพื่อทำให้เหล็กกล้าไร้สนิมสามารถต้านทานต่อการกัดกร่อนได้ดีคือโครงเมียม โดยเติมลงไปในปริมาณน้อยต่ำ 10 ถึง 30 เมื่อสัมผัสถกับออกซิเจนในอากาศโครงเมียมในเหล็กกล้าไร้สนิมจะเกิดเป็นแยนพิล์มที่บางมากในรูปของโครงเมิกออกไซด์ ( $\text{Cr}_2\text{O}_3$ ) ซึ่งเราไม่สามารถมองเห็นด้วยตาเปล่าถ้าแยนพิล์มนี้จะกันไม่ให้น้ำหรืออากาศซึมผ่านเข้าไปในเหล็ก ซึ่งช่วยในการป้องกันเหล็กจากการกัดสนิมได้อย่างไรก็ตามเหล็กกล้าไร้สนิมสามารถถูกกัดกร่อนได้เช่นกันโดยเฉพาะภาวะที่ไม่มีออกซิเจน ทำให้มันสามารถสร้างแยนพิล์มของโครงเมิกออกไซด์ที่ช่วยป้องกันการกัดกร่อนได้สำเร็จ แต่เมื่อออกซิเจนหายไปเช่นในปริมาณมากจะทำให้เกิดการกัดกร่อนเป็นจุด (pitting or pit) และจะขยายวงกว้างขึ้นไปเรื่อยๆการเชื่อมหรือการผ่านกระบวนการให้ความร้อนซึ่งทำให้เหล็กกล้าไร้สนิมมีความแข็งมากขึ้นสามารถทำให้

ความต้านทานต่อการกัดกร่อนลดลงเนื่องจากโครงเมียมในเหล็กจะทำปฏิกิริยากับคาร์บอนเกิดเป็นโครงเมียมคาร์ไบด์ ( $\text{Cr}_3\text{C}_2$ ) แทนโดยมีกอออกไซด์การยับยั้งการเกิดโครงเมียมคาร์บอนสามารถทำได้โดยการซุ่มน้ำเงินหลังจากให้ความร้อนทันทีนอกจากนี้การใช้วิธีเติมโลหะบางชนิด เช่น- ลาหานัม (La) ไททาเนียม (Ti) และนีโอบีียม (Nb) ลงไปในเนื้อเหล็กจะทำให้คาร์บอนทำปฏิกิริยา กับโลหะเหล่านี้แทนการทำปฏิกิริยา กับโครงเมียม ซึ่งเป็นบริการยับยั้งการเกิดโครงเมียมคาร์บอนได้เช่นกัน โครงผลึกของเหล็กกล้าไวร์โรบินการที่เหล็กกล้าไวร์โรบินมีคุณสมบัติเดิงกาสได้แก่ ความต้านแรงดึง ความแรงคราก การยืด ความแข็งและความหนืดจวที่แตกต่างกันเนื่องจากมีลักษณะของโครงผลึกที่แตกต่างกันส่วนสำคัญที่ทำให้มีลักษณะโครงผลึกที่แตกต่างกันคือ ลักษณะของผลิตภัณฑ์เฟสหัวน้ำ- ชิ้น (phase transition) และของศักยะหราทางเคมีในขบวนการผลิตเหล็กกล้าไวร์โรบิน จะต้องควบคุมการเติมธาตุต่างๆ และการให้ความร้อน (heat treatment) เป็นอย่างดีเพื่อควบคุมให้เหล็กกล้าไวร์โรบินที่ผลิตออกมามีโครงผลึกและเฟสหัวน้ำชิ้นตามที่ต้องการ เหล็กและอัลลอยของเหล็กมีผลพิษหลายรูปแบบที่รุกรานทั่วไปเป็นแบบ บอดี-เซ็นเตอร์-คิวบิก (body center cubic) หรือคำย่อว่าบีซีซี (bcc) และเฟส-เซ็นเตอร์ คิวบิก (faced-center-cubic) ซึ่งก็ค่าย่อว่าเอฟซีซี (fcc) สำหรับเหล็กที่บีซีซี แลบที่รูปแบบเอฟซีซีจะอยู่ที่อุณหภูมิ 910-1400 องศาเซลเซียส ส่วนแลบที่ชีรูปแบบบีซีซีจะอยู่ที่อุณหภูมิต่ำกว่า 910 องศาเซลเซียส และที่อุณหภูมิสูงกว่า 1400 องศาเซลเซียส จะถูกจุดหลอมเหลวที่ 1539 องศาเซลเซียส ในขณะที่สำคัญที่ใช้ในการควบคุมให้ได้เฟสหัวน้ำชิ้น (phase transition) ตามต้องการคือโครงเมียมและนิกเกิลโดยที่โครงเมียมเป็นธาตุที่ทำให้ได้โครงผลึกแบบเฟอร์ไรท์และนิกเกิลเป็นชาตุที่ทำให้ได้โครงผลึกแบบออยส์ต์ในที่ [4]

### 2.3.1 การแบ่งประเภทเหล็กกล้าไว้สนับนิม

เหล็กกล้าไว้สนับนิมเป็นโลหะผสมที่มีความต้านทานต่อการเกิดออกซิเดชันและมีความต้านทานต่อการกัดกร่อนสูงโดยทั่วไปเหล็กกล้าไว้สนับนิมมีโครงเม็ดผสมอยู่ประมาณ 12-27 เปอร์เซ็นต์และมีแมลงกานีฟฟ์ผสมอยู่ประมาณ 1-2 เปอร์เซ็นต์และในเหล็กกล้าไว้สนับนิมน้ำหนักมีการเติมนิกเกลและไนบาร์เกอร์ของเหล็กกล้าไว้สนับนิมมีปริมาณคานบอนต่ำ [2]

ตารางที่ 2.2 ตัวอย่างของเหล็กกล้าไว้สนับนิมบางเกรด

AISI Type	Nominal Composition (%)				
	C	Mn	Cr	Ni	Other
<b>Austenitic grades</b>					
301	0.15 max	2.0	16-18	6-8	
302	0.15 max	2.0	17-19	8-10	
304	0.08 max	2.0	18-20	8-12	
304L	0.03 max	2.0	18-20	8-12	
309	0.20 max	2.0	22-24	12-15	
310	0.25 max	2.0	24-26	19-22	
316	0.08 max	2.0	16-18	10-14	2-3%Mo
316L	0.03 max	2.0	16-18	10-14	2-3%Mo
321	0.08 max	2.0	17-19	9-12	(5 x %C) Ti min
347	0.08 max	2.0	17-19	9-13	(10 x %C) Nb-Ta min
<b>Martensitic grades</b>					
403	0.15 max	1.0	11.5-13		
410	0.15 max	1.0	11.5-13		
416	0.15 max	1.2	12-14		0.15% S min
420	0.15 min	1.0	12-14		
431	0.20 max	1.0	15-17	1.2-2.5	
440A	0.60-0.75	1.0	16-18		0.75% Mo max
440B	0.75-0.95	1.0	16-18		0.75% Mo max
440C	0.95-1.20	1.0	16-18		0.75% Mo max

### ตารางที่ 2.2 (ต่อ) ตัวอย่างของเหล็กกล้าไร้สนิมบางเกรด

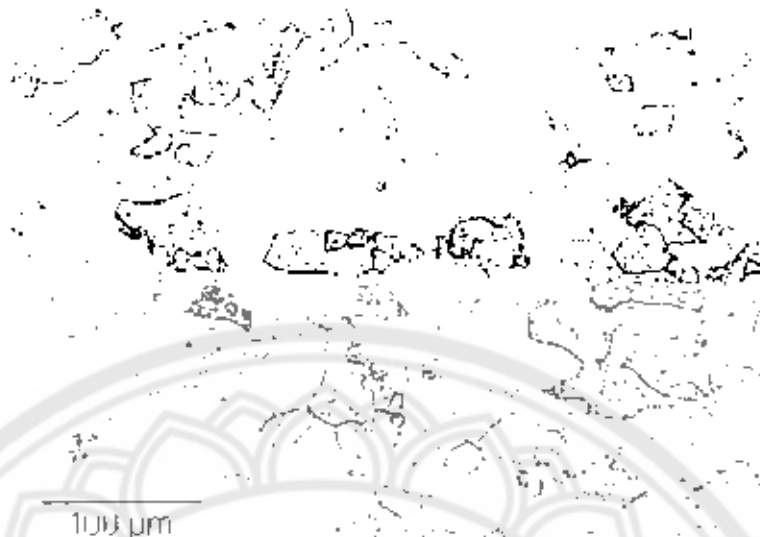
AISI Type	Nominal Composition (%)				
	C	Mn	Cr	Ni	Other
<b>Ferritic grades</b>					
405	0.08 max	1.0	11.5-14.5		0.1-0.3% Al
430	0.15 max	1.0	14-18		
446	0.20 max	1.5	23-27		

(ที่มา : ASM Metals Handbook Volume 6 Welding, brazing and soldering, ASM International)

#### 2.3.1.1 เหล็กกล้าไร้สนิมเฟอร์ริติก (Ferritic Stainless Steel)

เหล็กกล้าไร้สนิมเฟอร์ริติกโดยทั่วไปจะมีโครงสร้างส่วนมากเป็น BCC โดยโครงสร้างที่เพิ่มลงในเหล็กกล้าไร้สนิมจะทำให้น้ำที่เพิ่มความเสถียรภาพให้แก่เหล็กเฟอร์ริต และทำให้บริเวณที่เกิดเฟสออกซิเดนท์มีอิเดนแคบลงดังแสดงในรูปที่ 2.7 และทำให้เหล็กกล้าไร้สนิมเกรกนี้มีโครงสร้างเป็นเฟลเฟอร์ไรท์แม่จั๊กที่อุณหภูมิสูงเหล็กกล้าไร้สนิมเฟอร์ริติกนี้ไม่สามารถทนต่อบริบทความร้อนเพื่อให้มีความแข็งแรงเพิ่มขึ้นได้ แต่ความแข็งแรงของเหล็กกล้าไร้สนิมเฟอร์ริติกนี้โดยทั่วไปก็มีความแข็งแรงสูงกว่าเหล็กกล้าคาร์บอนธรรมด้า ซึ่งเป็นผลจากธาตุชนิดที่เติมอยู่ในเหล็กกล้าไร้สนิมเฟอร์ริติก

เนื่องจากมีรากฐานก่อตัวก่อตัวจากอุ่นของสแตนเลสฟลักซ์และมีความต้านทานทางเคมีต่อกรดและกรดอ่อนตัว พอสมควรจึงสามารถนำมาใช้แทนก่อตัวของสแตนเลสฟลักซ์ได้ในงานบางประเภทที่ไม่ต้องการคุณสมบัติสูงมากนัก เช่น เครื่องใช้ในครัวเรือนที่ส่วนใหญ่ต้องห้าม เป็นต้น ผลิตภัณฑ์ที่ขึ้นรูป (Wrought Products) ของเหล็กกล้ามีจัดอยู่ในอนุกรม 4xx ได้แก่ AISI 405 และ AISI 430 หมายเหตุรับ ผลิตภัณฑ์ที่ขึ้นรูปไม่ลึกมากนัก เช่น ช้อนและส้อม เป็นต้น รูปที่ 2.5 แสดงโครงสร้างอุลตราซาวด์ของเหล็กกล้าไร้สนิมเฟอร์ริติก (Ferritic Stainless Steel) [3]



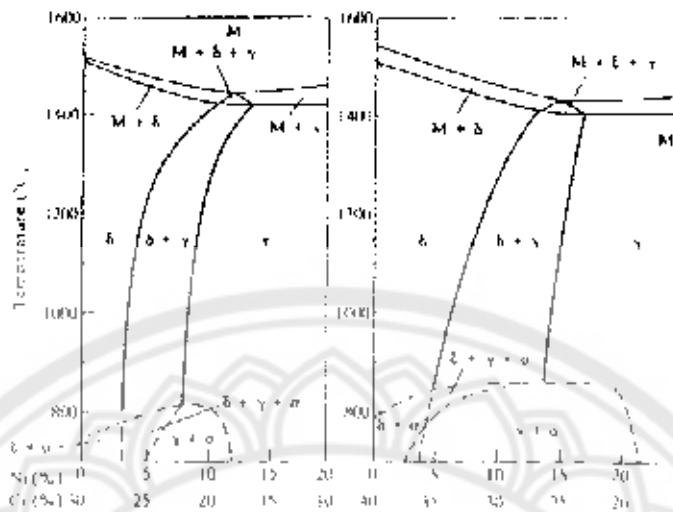
รูปที่ 2.5 โครงสร้างอุลกาคของเหล็กกล้าไร้สนิมเฟอร์เรติก (Ferritic Stainless Steel)

(ที่มา : [http://siweb.dss.go.th/dss\\_doc/fulltext/radio/T72.pdf](http://siweb.dss.go.th/dss_doc/fulltext/radio/T72.pdf))

### 2.3.1.2. เหล็กกล้าไร้สนิมอустาติก (Austenitic Stainless Steel)

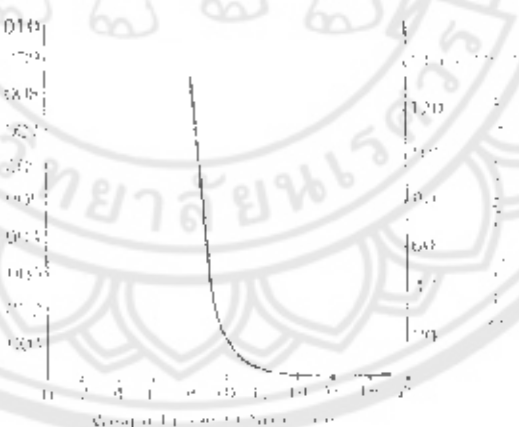
เหล็กกล้าไร้สนิมอустาติกจะมีการเติมนิกเกิลลงในเหล็กกันออก衡นิ่งจาก การเติมโครเมียม โดยรูปที่ 2.6 แสดงแผนภูมิสมดุลของ เหล็ก-โครเมียม-นิกเกิล ที่มีปริมาณเหล็ก 70 และ 60 เปอร์เซ็นต์โดยน้ำหนักการเติมนิกเกิลในปริมาณที่สูงพอดีทำให้เหล็กกล้าไร้สนิมมี โครงสร้างเป็น FCC ทุกช่วงคุณภาพโดยทั่วไปเหล็กกล้าไร้สนิมอустาติกจะมีโครเมียมอย่าง น้อย 16 เปอร์เซ็นต์โดยน้ำหนัก และมีนิกเกิลในปริมาณที่มากพอที่จะรักษาเสถียรภาพอุตสาหกรรม ไม่ให้เกิดการเปลี่ยนผ่านทางโครงสร้างเป็นเฟลมาติกแทนที่เข็นล้านรับเหล็กกล้าไร้สนิมอุตสาหกรรมนิ่ง ที่มีโครเมียม 15-16 เปอร์เซ็นต์โดยน้ำหนักต้องมีปริมาณนิกเกิล少なくอยู่ 6-8 เปอร์เซ็นต์โดยน้ำหนัก

เนื่องจากโครเมียมที่อยู่ในเหล็กกล้าไร้สนิมจะช่วยลดอัตราการกัดกร่อนของ เหล็กและป้องกันเนื้อเหล็กที่อยู่ภายนอกไว้ให้สัมผัสด้วยสภาพแวดล้อมที่ทำให้เกิดการกัดกร่อน เช่น เกินผลมาจากโครเมียมที่อยู่ในเนื้อเหล็กเมื่อสัมผัสด้วยกับอากาศ ก็จะทำให้เกิดการ หลังฟลั๊มโครเมียมออกไซด์ ( $\text{Cr}_2\text{O}_3$ ) ซึ่งมีความหนาแน่นและมีเสถียรภาพสูง การเพิ่มปริมาณธาตุ โครเมียมในเหล็กกล้าไร้สนิมนี้จะช่วยทำให้อัตราการกัดกร่อนของเหล็กลดค่าลงโดยเมื่อมีปริมาณ โครเมียมสูงถึง 13 เปอร์เซ็นต์โดยน้ำหนักก็จะทำให้เกิดฟลั๊มโครเมียมออกไซด์ที่มีเสถียรภาพและ คงทนกับความร้อนทั้งชั้นงาน รูปที่ 2.7 แสดงผลของการเติมโครเมียมต่อการกัดกร่อน รูปที่ 2.9 และ โครงสร้างอุลกาคของเหล็กกล้าไร้สนิมอุตสาหกรรมนิ่ง (Austenitic Stainless Steel) [3]



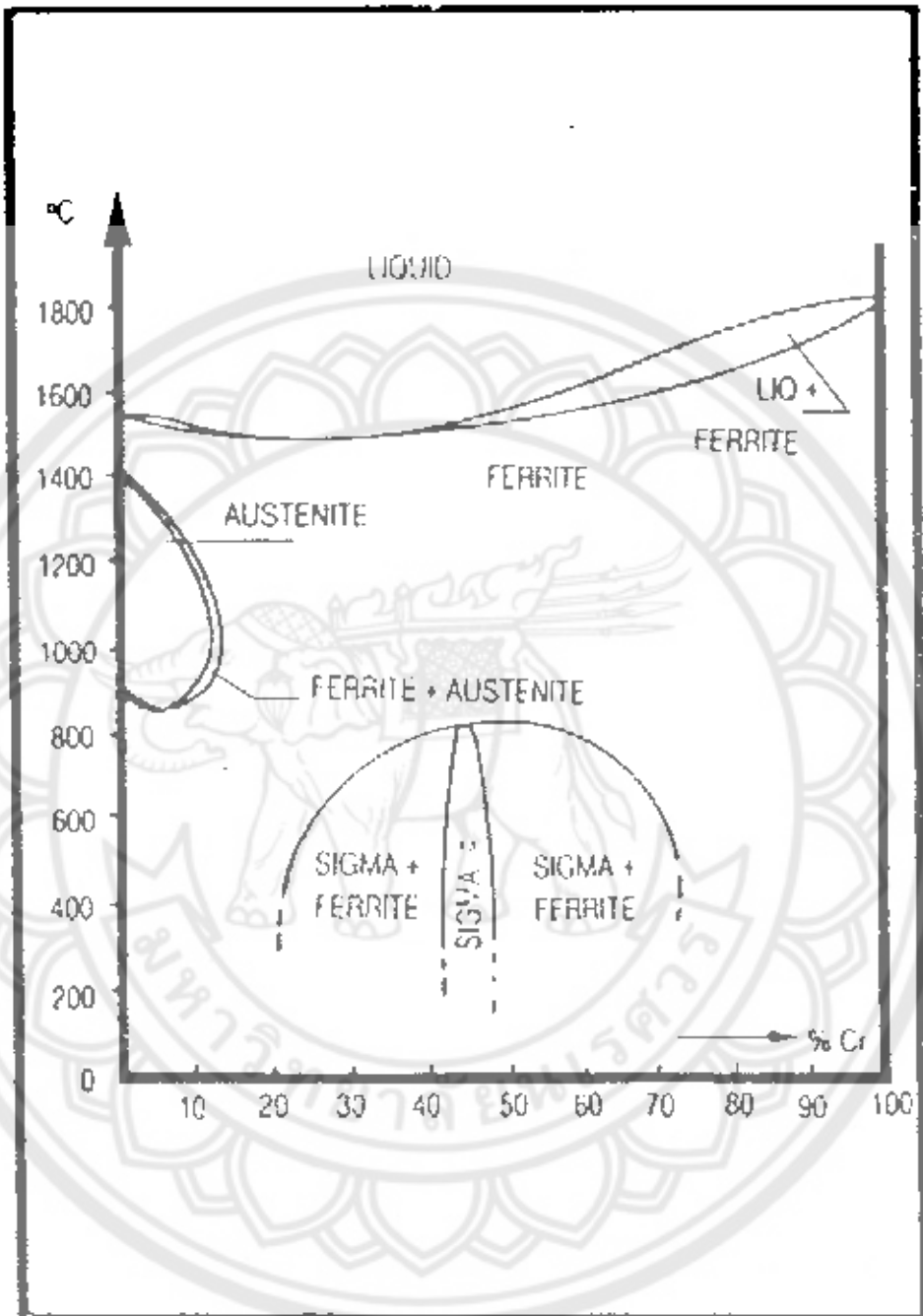
**รูปที่ 2.6** แสดงแผนภูมิความดันของ เหล็ก-โครงเมียม-นิกเกิล ที่มีปริมาณเหล็ก 70 และ 60 เปอร์เซ็นต์โดยน้ำหนัก

(ที่มา : บริษัทบ้านพิพิธ ผลิตภัณฑ์ในโครงการต่อปริมาณโครงสร้างเหล็กไว้ที่และความต้านทานการกัดกร่อนของแนวเสื่อมเหล็กกล้าไว้สนิมดูเพล็กซ์ที่มีส่วนผสมโครงเมียม 28% นิกเกิล 7%, โซเดียม วงค์ปันแก้ว)



**รูปที่ 2.7** ความสัมพันธ์ระหว่างปริมาณโครงเมียมและอัตราการกัดกร่อน

(ที่มา : บริษัทบ้านพิพิธ ผลิตภัณฑ์ในโครงการต่อปริมาณโครงสร้างเหล็กไว้ที่และความต้านทานการกัดกร่อนของแนวเสื่อมเหล็กกล้าไว้สนิมดูเพล็กซ์ที่มีส่วนผสมโครงเมียม 28% นิกเกิล 7%, โซเดียม วงค์ปันแก้ว)



รูปที่ 2.8 แผนภูมิสมดุลของเหล็กและโครเมียม

(ที่มา : บริษัทญี่ปุ่น ผลของในตัวเรนต์บีร์มาณิคโครงสร้างเฟอร์ไรท์และความต้านทานการกัดกร่อนของแนวเสื่อมเหล็กกล้าไร้สนิมคุเพลิกซ์ที่มีส่วนผสมโครเมียม 28% นิกเกิล 7%, โมลิบเดียม 2%)



**รูปที่ 2.9** โครงสร้างอัลตราซูมของเหล็กกล้าไร้สนิมอัลตราร์บีติก (Austenitic Stainless Steel)

(ที่มา : [http://siweb.dss.go.th/dss\\_doc/fulltext/radio/T72.pdf](http://siweb.dss.go.th/dss_doc/fulltext/radio/T72.pdf))

### 2.3.1.3 เหล็กกล้าไร้สนิมมาร์นาร์เทนชิติก (Martensitic Stainless Steel)

เหล็กกล้าไร้สนิมมาร์นาร์เทนชิติกปกติจะมีปริมาณโคโรเนียมระหว่าง 11-18 เปอร์เซ็นต์โดยน้ำหนักและมีคาร์บอนไม่เกิน 0.3 เปอร์เซ็นต์โดยน้ำหนัก เหล็กกล้าไร้สนิมมาร์นาร์เทนชิติกนั้นจะมีปริมาณคาร์บอนสูงเมื่อเทียบกับเหล็กกล้าไร้สนิมชนิดอื่นๆ เนื่องจากต้องการความสามารถในการซูบแข็งและทำให้เกิดเฟลมาร์นาร์เทนชิติก เหล็กกล้าไร้สนิมมาร์นาร์เทนชิติกนั้นจะใช้ในงานที่ต้องการความแข็งแรงสูงและมีความต้านทานกรดกร่อน ซึ่งเหล็กกล้าไร้สนิมที่ใช้โดยทั่วไปได้แก่เหล็กกล้าไร้-สนิม AISI410 และ AISI420 [3]

### 2.3.1.4 เหล็กกล้าไร้สนิมดูเพล็กซ์ (Duplex Stainless Steel)

เหล็กกล้าไร้สนิมดูเพล็กซ์เป็นเหล็กกล้าไร้สนิมที่มักจะเลือกใช้งานแทนเหล็กกล้าไร้สนิมอัลตราร์บีติก ในกรณีที่ต้องการความต้านทานกรดกร่อนสูงกว่าและราคาไม่แพง เนื่องจากเหล็กกล้าไร้สนิมดูเพล็กซ์ มีโครงสร้างอัลตราซูมของรูปแบบฟลีกซ์ 2 ฟลีกซ์ คืออัลตราร์บีติก (Austenite) คู่กับฟลีกซ์ที่ให้ความหนาแน่นและความแข็งแรงสูงและเดลต้าเฟอร์ไรติก (Delta ferrite) ซึ่งเป็นฟลีกซ์ที่ให้ความแข็งแรงสูง ในการผลิตเหล็กกล้าไร้สนิมดูเพล็กซ์จะควบคุมให้มีปริมาณออกซิเดนท์และเดลต้าเฟอร์ไรติกในอัตราส่วนประมาณ 1 : 1 โดยทำการอบซุบความร้อนเมื่อจากทำให้เหล็กกล้าไร้-สนิมดูเพล็กซ์มีสมบัติที่ดีทั้งในด้านความแข็งแรง และความต้านทานกรดกร่อน ซึ่งจำเป็นอย่างมากสำหรับอุตสาหกรรมเคมีหรือปิโตรเคมีที่กระบวนการผลิตอาจอยู่ในสภาพแวดล้อมกรดกร่อนอย่างต่อเนื่องอยู่ในช่วงอุณหภูมิที่หลากหลาย [3]

### 2.3.2 แผนภูมิ Schaeffler และ De Long

เหล็กกล้าใช้สัมบูรณ์ที่ผ่านการเชื่อมนั้นสามารถทำนายได้ทางด้วยภายนอกของเหล็กกล้า เช่น การใช้แผนภูมิ Schaeffler หรือ De Long ตัวอย่างเช่น รูปที่ 2.10, 2.11 และรูปที่ 2.12 โดยรูปที่ 2.12 เป็นแผนภูมิ Schaeffler ที่นักวิชาชีวะและศัลศตร์ทางภาษาและภาษาอังกฤษใช้บ่อยๆ เนื่องจากเป็นแผนภูมิที่ใช้ในการเชื่อมเหล็กกล้าใช้สัมบูรณ์โดยบริเวณต่างๆ ที่สำคัญในแผนภูมิ Schaeffler มีดังนี้ [3]

2.3.2.1 บริเวณทั้งหมดที่มีโครงสร้างเป็นอุตสาหกรรมที่จะไม่ต้องการเกิดการแตกในขณะร้อนหรือการแตกในขณะการแข็งตัว (Hot crack or solidification crack)

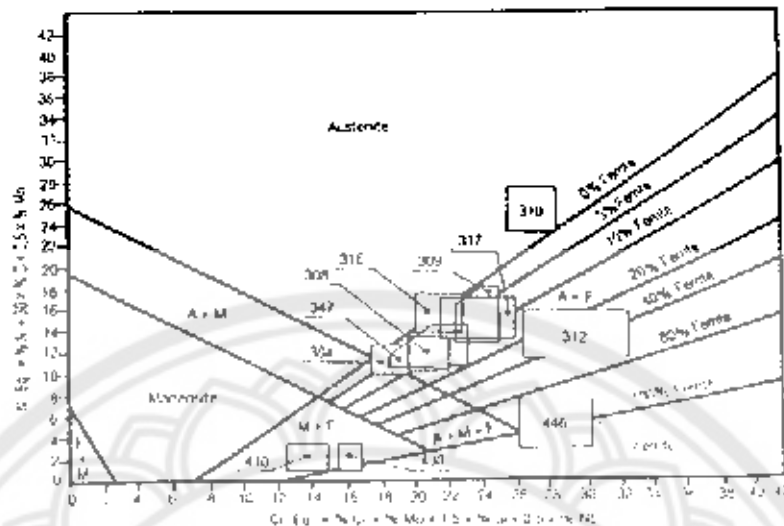
2.3.2.2 รอยเชื่อมที่มีค่าโครเมียมเทียบเท่า (Chromium equivalent) มาากกว่า 25 จะไม่ต้องการเกิดสารประกอบเชิงโลหะที่มีความต้านทานต่อฟลักซ์ิกมา (sigma phase) เมื่อขึ้นจานอยู่ในช่วงอุณหภูมิ 500-900 °C เป็นเวลานาน

2.3.2.3 รอยเชื่อมที่มีค่าโครเมียมเทียบเท่าสูงและมีค่าไนโอลิทเทียบเท่าต่ำจะไม่ต้องการเกิดการแตกหักที่อุณหภูมิสูง (ประมาณ 1150 °C) และเพียงต้องการแตกเนื่องจากมีความแห้งกร้านต่ำ

2.3.2.4 รอยเชื่อมที่เกิดเฟลมาร์滕ไซท์ที่ 100 ปรอร์เซนต์จะเสียต้องการแตกที่เรียกว่า Martensitic cracking ที่เกิดขึ้นเมื่ออุณหภูมิต่ำกว่า 100 °C ซึ่งในการเชื่อมสามารถลดอันตรายจากการเกิด martensitic cracking ได้โดย

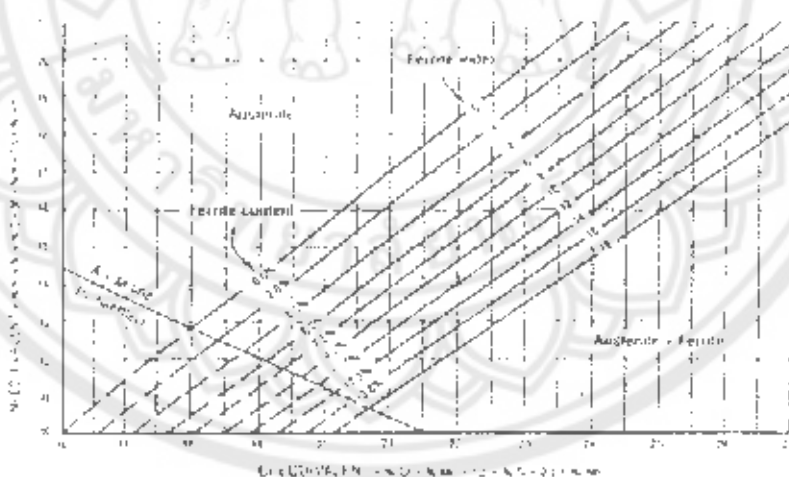
- 1) ลดปริมาณคาร์บอน
- 2) ลดปริมาณแอกซิโลไดรเจนที่มีอยู่ในรอยเชื่อม
- 3) พยายามลดความเด่นเด่นค้างที่เกิดขึ้นในระหว่างการเชื่อม

2.3.2.5 บริเวณที่เกิดการซ้อนทับกันในของบริเวณต่างๆ ในรูปที่ 2.12 (บริเวณที่มีสีเข้ม) นั้นถึงแม้จะเป็นบริเวณเด็กๆ แต่เป็นบริเวณที่มีภาระสำคัญ เนื่องจากมีความสามารถในการเชื่อมสูง



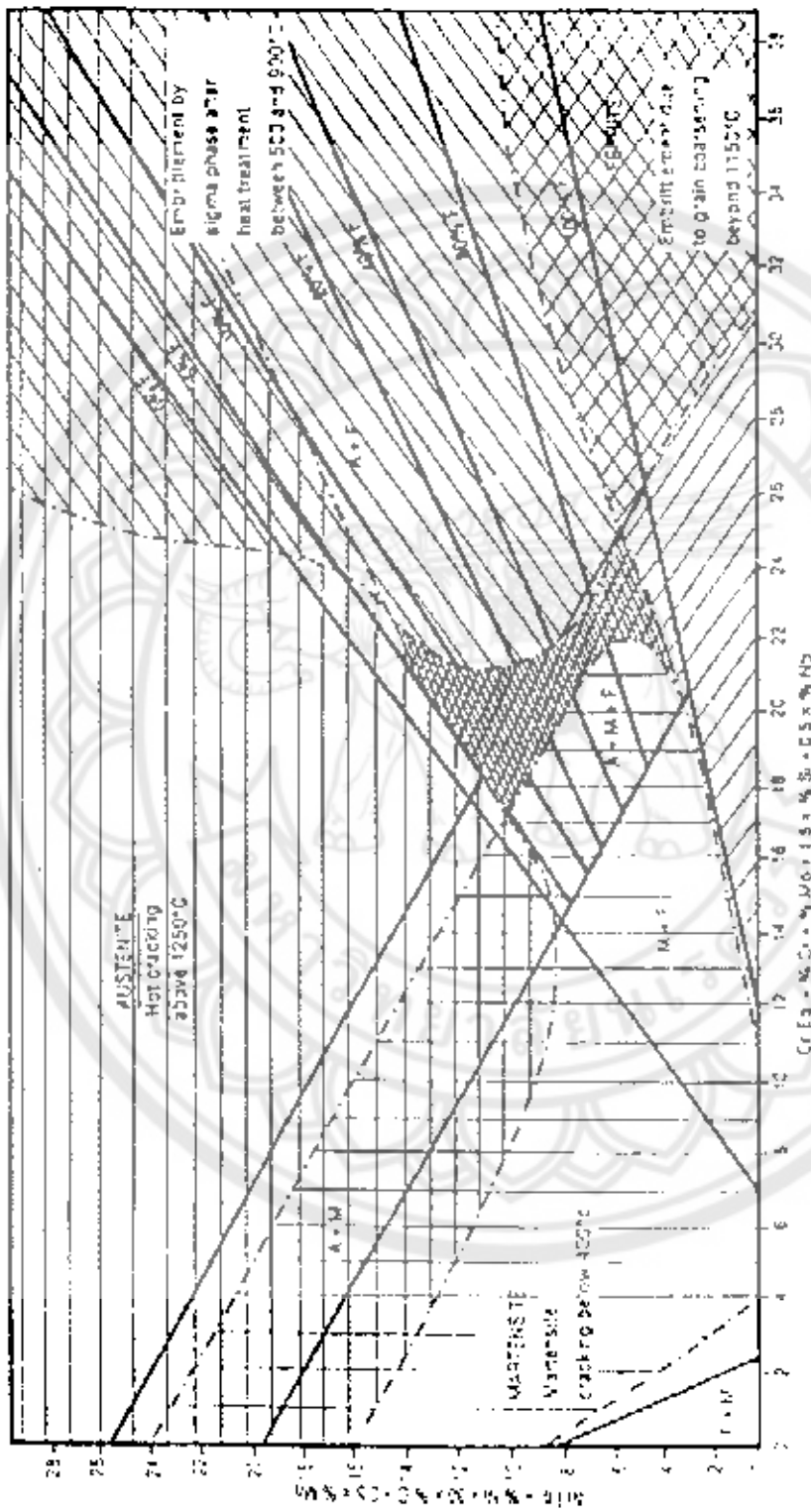
รูปที่ 2.10 แผนภูมิ Schaeffler

(ที่มา : บริษัทญี่ปุ่นพัฒนาผลิตภัณฑ์ในโครงการต่อปริมาณโครงสร้างเฟอร์ไรท์และความต้านทานการกัดกร่อนของแนวเสื่อมเหล็กกล้าไวร์สเนิมดูเพลิกซ์ที่มีส่วนผสมโคโรเมียม 28% นิกเกิล 7%, ไนชิต 0.4% บีบีแอล)



รูปที่ 2.11 แผนภูมิ Delong

(ที่มา : บริษัทญี่ปุ่นพัฒนาผลิตภัณฑ์ในโครงการต่อปริมาณโครงสร้างเฟอร์ไรท์และความต้านทานการกัดกร่อนของแนวเสื่อมเหล็กกล้าไวร์สเนิมดูเพลิกซ์ที่มีส่วนผสมโคโรเมียม 28% นิกเกิล 7%, ไนชิต 0.4% บีบีแอล)

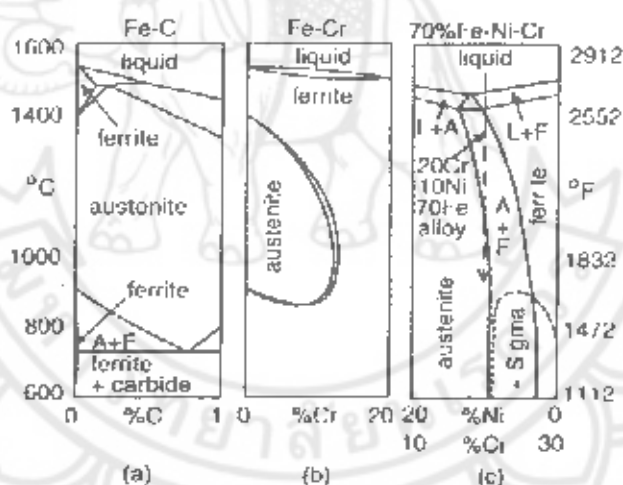


รูปที่ 2.12 แมกนีต Schaeffler ทดสอบปริมาณต่างๆ ที่มีผลต่อการรักษา

(หัวข้อ : ปริมาณน้ำหนักและปริมาณของสารปริมาณในโครงสร้างพื้นฐานต้องดูแลอย่างดีต่อกลุ่มชั้นนำเข้ามารักษาตัวให้มีสภาพดีที่สุด ไม่ว่าจะเป็น 28% นิโคเกล 7%, โลเม็ต งานค์บอนเนลล์ บรู๊ฟฟ์)

### 2.3.3 การแข่งตัวช่องช่องเชื่อมเนื้อกล้าไร้สิ่ง

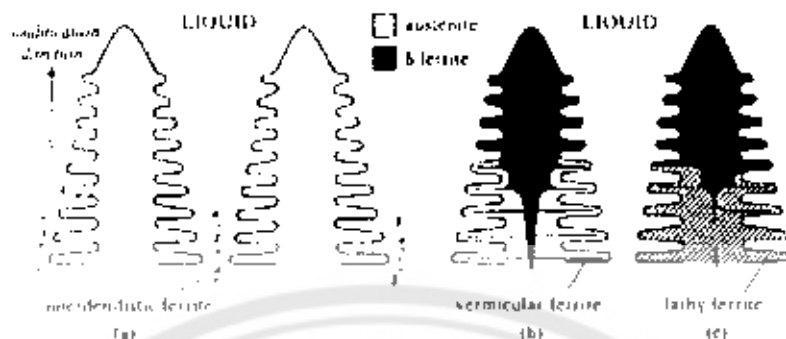
แผนภูมิ Schaeffler และ De Long นั้นสามารถทำนายโครงสร้างของรอยเชื่อม เหล็กกล้าไว้สนับนิมภัยหลังการแข็งตัวและที่อุณหภูมิท่องเทาผ่าน การศึกษาปัญหาที่เกิดขึ้นในระหว่างการเชื่อมซึ่งจำเป็นต้องศึกษาถึงการแข็งตัวของรอยเชื่อมด้วย โดยการศึกษาจำเป็นต้องใช้แผนภูมิสมดุล 3 เพศของระบบ เหล็ก - โลหะเมียม นิกเกิล ตั้งกฎที่ 2.13 โดยกฎที่ 2.13 จะแสดงผล ทางโครงเมียมและนิกเกิลต่อแผนภูมิสมดุลของเหล็กและรูปที่ 2.14 แสดงให้เห็นถึงการแข็งตัวใน ใหมด่างๆของเหล็กกล้าไว้สนับนิมอสเทนนิติก โดยนิื้อเหล็กกล้าไว้สนับนิมอสเทนนิติกมีค่าโครงเมียม เทียบเท่ากันอยู่เหล็กกล้าไว้สนับนิมอสเทนนิติกจะเกิดการแข็งตัวในใหมดอสเทนนิติก ซึ่งจะໄວ่ต่อการ เกิดการแตกในขณะร้อนและเมื่อมีเหล็กกล้าไว้สนับนิมอสเทนนิติกมีค่าโครงเมียมเท่ากันต่อค่า นิกเกิลเทียบเท่ากันของเหล็กกล้าไว้สนับนิมจะเกิดการแข็งตัวในใหมดเพอร์วิติก ซึ่งจะเด่นต่อการเกิดการ แตกร้าวในขณะร้อนและร้อนจากนี้ไปกรณีที่เหล็กกล้าไว้สนับนิมมีค่าโครงเมียมเท่ากันต่อค่า นิกเกิล เทียบเท่าไก่เดียว 1 เหล็กกล้าไว้สนับนิมที่จะมีการแข็งตัวในใหมดเพอร์วิติก - ออสเทนนิติก [2]



รูปที่ 2.13 ผลของการทดสอบต่อแผนภูมิสัมคัญ

- (a) แผนผังวิสัมดุลของเหล็กและคาร์บอน  
 (b) แผนผังวิสัมดุลของเหล็กและโครเมียม  
 (c) แผนผังวิสัมดุลของเหล็ก-โครเมียมน้ำเงิน ที่มีเหล็ก 70

(ที่มา : ASM Metals Handbook Volume 6 Welding, brazing and soldering, ASM International)



รูปที่ 2.14 ใหมมดการแข็งตัวของเหล็กกล้าไร้สนิม

- (a) การแข็งตัวในใหมมดออดเทานนิคิก
- (b) การแข็งตัวในใหมมดเพอร์ริติก - อคสเทนนิคิก
- (c) การแข็งตัวในใหมมดเพอร์ริติก

(ที่มา : ASM Metals Handbook Volume 6 Welding brazing and soldering, ASM International)

ตารางที่ 2.3 ผลของส่วนผสมทางเคมีต่อปริมาณโครงสร้างเฟอร์ไรท์

AFNOR/AISI designation	Nominal chemical composition	Delong's Ferrite Number
Z11 CN 17.08 AISI 301	0.1%C-17%Cr-7%Ni	2.0
Z7 CN 18.09 AISI 304	0.06%C-19%Cr-10%Ni	3.0
Z15 CN 24.13 AISI 309	0.1%C-23%Cr-13%Ni	4.0
Z6 CNNb 18.10 AISI 347	0.06%C-18%Cr-10%Ni $8 \times C < Nb + Ta < 1.0\%$	6.0

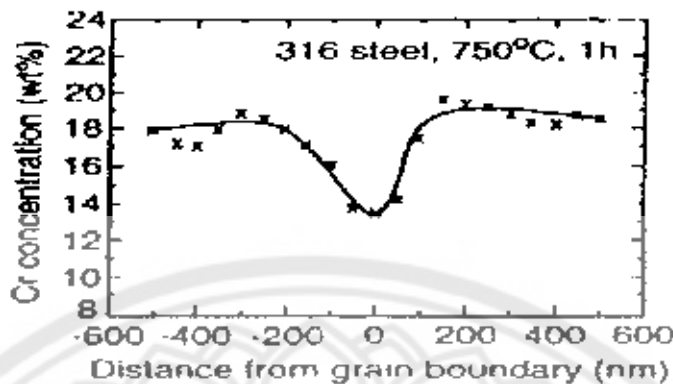
(ที่มา : ASM Metals Handbook Volume 6 Welding brazing and soldering, ASM International)

### 2.3.4 วิทยาพลาสติกเฟอร์ไรท์

การหั่นตัวในไนด์เฟอร์ริດก้าของเหล็กกล้าได้สัมภาระนิติกมีข้อต่อสามารถลดการเกิดการแตกหักภายในขณะรีดขึ้น เนื่องจากเฟลเตลต้าเฟอร์ไรท์สามารถลดลายกำมะถันและฟอกฟอร์สได้ในปริมาณสูงสำหรับการหั่นตัวในไนด์เฟลเตลต้าเฟอร์ไรท์สามารถลดลายกำมะถันและฟอกฟอร์ส และเหล็กฟอร์สที่มีจุดหลอมเหลวต่ำและจะทำให้เกิด micro segregates ขึ้นภายในเนื้อหินได้จากการนี้ปริมาณเฟลเตลต้าเฟอร์ไรท์ที่อุณหภูมินี้องค์นี้มีความสำคัญต่อความสามารถในการหั่นตัว การหั่นตัวและการแยกหักภายใน แต่ปริมาณเฟลเตลต้าเฟอร์ไรท์ที่มากเกินไปก็จะทำให้ความแรงของเนื้อหินลดลง เนื่องจากเฟลเตลต้าเฟอร์ไรท์ที่เกิดขึ้นจะมีลักษณะเป็นเครือข่าย (Network) ซึ่งปริมาณเฟลเตลต้าเฟอร์ไรท์ที่มีอยู่ในเนื้อหินจะมีความมีเกิน 12-14 เปอร์เซ็นต์โดยปริมาตรและปริมาณเฟลเตลต้าเฟอร์ไรท์ 3-5 เปอร์เซ็นต์โดยปริมาตรสามารถลดการแตกหักภายในขณะรีดขึ้นได้ [3]

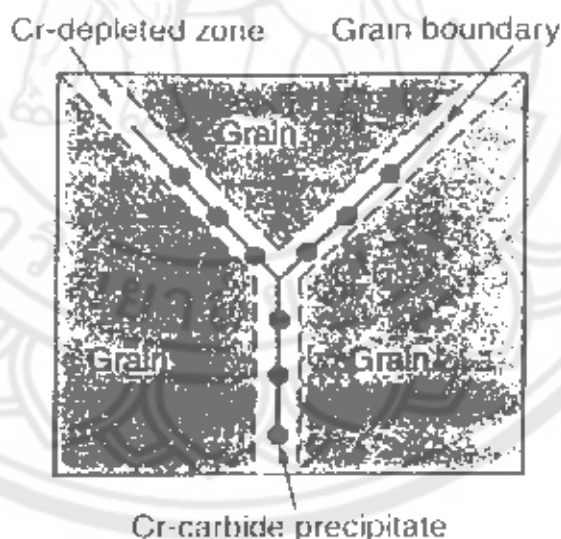
### 2.3.5 วิทยาพลาสติกการรับอนในเหล็กกล้าไร้สนิม

ปริมาณคาร์บอนในเหล็กกล้าไร้สนิมมีความสำคัญอย่างยิ่งเนื่องจากคาร์บอนสามารถลดการทำให้เกิดสารประกอบคาร์บีด เช่น  $(Cr, Fe)_2C$  หรือ  $Cr_3C$  สามารถบดเนื้อหินเกรตนี้จะทำให้บริเวณรอบๆ ที่เกิดการแตกหักสามารถประกอบคาร์บีดเหล่านี้ เป็นบริเวณพร่องโครเมียม (Chromium depletion zone) โดยรูปที่ 2.15 แสดงปริมาณโครเมียมที่เริ่มต่างๆ รอบๆ ขอบเกรนของเหล็กกล้าไร้สนิม AISI316 ที่เกิดการแตกหักของโครเมียมมากขึ้นด้วยการหั่นตัวการหั่นตัวจะมีผลลัพธ์ที่ไม่ดีต่อการรับอนในเนื้อหิน [3]



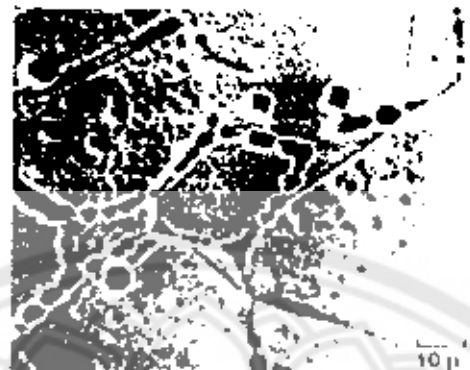
รูปที่ 2.15 ปริมาณโครเมียมที่บีบ巍ณต่าง ๆ รอบขอบเกrainของเหล็กกล้าไส้ลับนิม 316 ที่เกิดการตัดตะกอนของโครเมียมครั้งเป็นครั้งเดียว

(หมาย : บริญญาบินพนธ์ ผลของในโครงเรนต์ค่าเรามานิโตรชัวงเฟอร์ไรท์และความต้านทานการกัดกร่อนของแนวเสื่อมเหล็กกล้าไส้ลับนิมดูเพล็กซ์ที่มีส่วนผสมโครเมียม 28% นิกเกิต 7%, โซเซิต วงศ์เป็นแก้ว)



รูปที่ 2.16 แสดงบีบ巍ณที่เกิดการพร่องโครเมียม (Cr-depletion zone)

(หมาย : บริญญาบินพนธ์ ผลของในโครงเรนต์ค่าเรามานิโตรชัวงเฟอร์ไรท์และความต้านทานการกัดกร่อนของแนวเสื่อมเหล็กกล้าไส้ลับนิมดูเพล็กซ์ที่มีส่วนผสมโครเมียม 28% นิกเกิต 7%, โซเซิต วงศ์เป็นแก้ว)



รูปที่ 2.17 การทดลองของน้ำแข็งโครงเมียมคราบีบด้วยเหล็กกล้าไร้สนิม 316

(ที่มา : บริษัทญี่ปุ่นพัฒนาผลิตภัณฑ์ในโครงการศึกษาและพัฒนาโครงสร้างเหล็กกล้าไร้สนิมต่อการกัดกร่อนของแนวเชื่อมเหล็กกล้าไร้สนิมคุณภาพสูงที่มีส่วนผสมโครงเมียม 28% นิกเกิล 7%, แมกนีเซียม 1% ด้านล่างเป็นหัว)

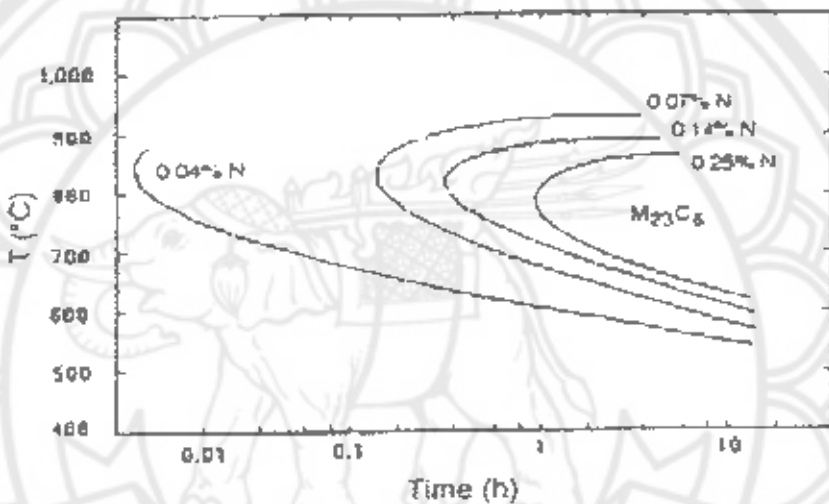
### 2.3.6 ข้อดีของการใช้เหล็กกล้าไร้สนิม

ในโครงสร้างของเหล็กกล้าไร้สนิมเพื่อเพิ่มความแข็งแรงของวัสดุจากกลไกการหล่อละลายแบบแทรก (interstitial solid solution) และเพิ่มความต้านทานการเสียดสี (wear resistance) จากกลไกการเกิดสารประทับแน่นในโครงสร้างมีบทบาทสำคัญในการเพิ่มความต้านทานการกัดกร่อนของเหล็กกล้าไร้สนิมทั้งหน้างานต้านทานการกัดกร่อนทั่วไป (general corrosion) ภายนอกและร่องรอยแบบบูรช์ (pitting corrosion) ภารกัดกร่อนภายในซอก (crevice corrosion) และการกัดกร่อนที่มีความตึง (stress corrosion cracking) นอกจากนี้ในโครงสร้างยังเป็นธาตุที่ให้เสถียรภาพแก่เฟลกซ์เต็นไนท์ (austenite stabilizer) และมีผลต่อการเกิดเข็นซึ่ง (sensitization) ของเหล็กกล้าไร้สนิมอีกด้วย

ในโครงสร้างมีผลในทางบวกต่อความเร็วในการเกิดเฟลกซ์ที่ทองเช่นได (tau) และซิกมา (sigma) ในโครงสร้างจะลดลงจากการลดลงของสารประทับแน่นในโครงสร้าง ( $M_{23}C_6$ ) ซึ่งพบว่าเมื่อในโครงสร้างเพิ่มต้นถึง 0.14 % จะช่วยลดการเกิดเข็นซึ่งให้เสถียรโดยจะมีการลดลงเล็กน้อยของโครงเมียมในโครงสร้าง ( $Cr_2N$ ) อย่างไรก็ตามเมื่อมีในโครงสร้างมากกว่า 0.14 % แต่ถ้าปริมาณในโครงสร้างมากกว่านี้จะเป็นผลเสียเนื่องจากกระบวนการเผาเมียมในบางพื้นที่ (localized chromium depleted) เพราะการลดลงเล็กน้อยของสารประทับแน่นในโครงสร้างทำให้โครงสร้างไม่คงทนในโครงสร้าง



นักศึกษาระดับบัณฑิตวิทยาลัยมีผลในการลดอัตราการกัดกร่อนทั่วไป (general corrosion) ในกรด-เข้มข้นที่มีค่าโลหะผสมอยู่ เช่น กรดซัลฟูริกที่ผสมด้วยโซเดียมคลอรอไรด์ โดยรูป 2.18 แสดงเส้นให้เห็นพลาไวร์เรชันของเหล็กกล้าไร้สนิมเกรด AISI304 ในตารางถาวรกรดซัลฟูริก 1 มิลลิโตรลิตร และโซเดียมคลอรอไรด์ 0.5 มิลลิโตรลิตรพบว่าในกรด-เข้มข้นลดความหนาแน่นกระแสไฟฟ้าตุดของการเกิดพากัดสีไวรัน (critical density- $i_{corr}$ ) นักศึกษาระดับบัณฑิตวิทยาลัยมีผลในการกัดกร่อนแบบบูรพาเริม (pitting potential) สูงขึ้นเมื่อค่าโลหะผสมเพิ่มขึ้น [3]



รูปที่ 2.18 ผลกระทบในกรด-เข้มข้นต่อเวลาในการลดอัตราการกัดกร่อนของพากัดกรอบคานคาบาร์บีต์ ( $M_{23}C_6$ )

(ที่มา : บริษัทญี่ปุ่น ผลของในกรด-เข้มข้นต่อปริมาณโครงสร้างเฟอรอยด์และความต้านทานการกัดกร่อนซึ่งแนวโน้มเหตุการณ์ที่มีส่วนผสมกรด-เข้มข้น 28% นิกเกิล 7%, โซเดียม อะบีตัน)

## 2.4 การเชื่อมเหล็กกล้าไร้สนิม

การเชื่อมเหล็กกล้าไร้สนิมมีความสำคัญอย่างยิ่งเนื่องจากการใช้งานเหล็กกล้าไร้สนิมในหลายกรณีจำเป็นต้องใช้การเชื่อมในการประกอบอันส่วนต่างๆเข้าด้วยกัน โดยในตารางที่ 2.4 แสดงตัวอย่างของปัญหาที่เกิดขึ้นในการเชื่อมเหล็กกล้าไร้สนิมประเภทต่างๆ [3]

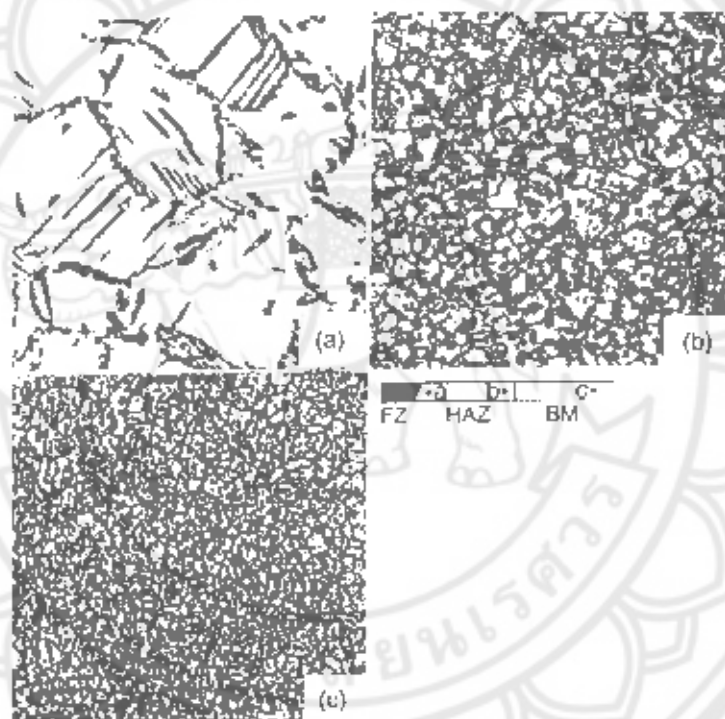
ตารางที่ 2.4 ตัวอย่างปัญหาที่เกิดขึ้นในการเชื่อมเหล็กกล้าไร้สนิมประเภทต่างๆ

	Typical Problems	Solutions
Austenitic	Solidification cracking	Use proper filler wires and dilution to keep 4-10% ferrite
	Weld decay	Use stabilized grades (321,347) or low-carbon grades (304L and 316L) Postweld heat-treat to dissolve carbides,followed by quenching
	Knife-line attack (in stabilized grades)	Use low-carbon grades Add La and Ce to stabilized grades Postweld heat-treat to dissolve carbides
	Hot cracking in partially melted zone	Switch from 347 to 304 or 316 Use low heat inputs
Ferritic	Low toughness due to HAZ grain growth and grain-boundary martensite	Use low heat inputs or add carbide and nitride formers to suppress grain growth Add Ti or Nb to reduce martensite
Martensitic	Hydrogen cracking	Preheat and postheat Use low-hydrogen or austenitic stainless steel electrodes

(ที่มา : บริษัทญี่ปุ่นที่ผลิตในตัวเรนต์บอร์ดวามโครงสร้างเหล็กหรือเหล็กที่มีส่วนผสมโครงเมียม 28% นิกเกิล 7%, แมกนีเซียม แก้ว)

#### 2.4.1 การเชื่อมเหล็กกล้าไร้สนิมเพื่อริบิก

การเชื่อมเหล็กกล้าไร้สนิมเพื่อริบิกนั้นสามารถเชื่อมได้ง่ายเมื่อยึดกับเหล็กกล้าไร้สนิม คือสหนิธิกหรือมาร์เทนซิติก เนื่องจากการเชื่อมเหล็กกล้าไร้สนิมเพื่อริบิกไม่เสียต่อการเผาร้าบ ในขณะร้อน เนื่องจากเพลฟเพอร์ไกท์นั้นสามารถละลายกับมวลน้ำหอฟลูฟอร์วัลที่ทำให้เกิด สารประกอบที่มีอุดหนอมเหลวตัวได้ แนะนำอกจากนี้การเชื่อมเหล็กกล้าไร้สนิมเพื่อริบิกยังไม่ต้อง กังวลต่อการเกิดสารประกอบของไอบะคาร์บอนไดออกไซด์ที่มีผลต่อการเชื่อมแต่สิ่งที่สำคัญในการเชื่อม เหล็กกล้าไร้สนิมเพื่อริบิกคือ ต้องระวังการเกิดเกร润หยาบและการเกิดมาร์เทนไซท์ภายหลังการ เชื่อมดังรูปที่ 2.19 [3]



**รูปที่ 2.19** แสดงโครงสร้างจุลภาคที่บริเวณต่อไป ภายหลังการเชื่อมเหล็กกล้าไร้สนิมเพื่อริบิก

- (a) โครงสร้างจุลภาคบริเวณระหว่างรักษาไว้กับแนวการหลอม
- (b) โครงสร้างจุลภาคบริเวณกรอบร้อน
- (c) โครงสร้างจุลภาคบริเวณโฉนดพื้น

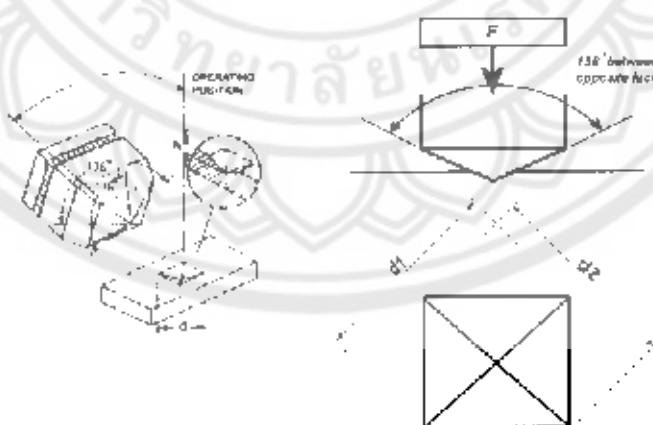
(หมาย : บริเวณฐานพื้นที่ผลของในโครงงานศึกษาปริมาณโครงสร้างเพอร์ไกท์และความต้านทานการกัด กร่อนของแนวเชื่อมเหล็กกล้าไร้สนิมตู้เพล็กซ์ที่มีส่วนผสมโครเมียม 28% นิกเกิล 7% โซเดียม วงคปีนแก้ว)

#### 2.4.2 การเข้มเหล็กกล้าไว้สินิมอสเทนนิติก

การเข้มเหล็กกล้าไว้สินิมอสเทนนิติกสามารถทำได้จากเมื่อเทียบกับการเข้มเหล็กกล้าไว้ดีบูนิติกอีกน้ำหนึ่ง เนื่องจาก การเข้มเหล็กกล้าไว้สินิมอสเทนนิติก เสื่อมหักต่อการแตกหักในขณะร้อนเนื่องจากเพลสอยสเทนในที่มีความสามารถในการละลายกำมะถันและฟอฟอรัสได้น้อย ดังนั้นในการเข้มเหล็กกล้าไว้สินิมอสเทนนิติกจึงควรมีการใช้ลดเตือนที่มีส่วนผสมที่ทำให้เกิดเฟสเฟอร์ไว้ในปริมาณ 3-5 เปอร์เซ็นต์โดยปริมาตร เพื่อลดอัตราการเสื่อมหักต่อการแตกหักในขณะร้อน นอกจากนี้การเข้มเหล็กกล้าไว้สินิมอสเทนนิติกยังเสี่ยงต่อการเกิดเฟสที่มีความเยรำสูงที่อุณหภูมิ  $600\text{-}950^{\circ}\text{C}$  [3]

#### 2.5 การทดสอบความแข็งแบบวิกเกอร์ (Vickers Hardness Test)

วิธีทดสอบความแข็งแบบวิกเกอร์ ประกอบด้วยการกดวัสดุทดสอบด้วยหัวกดเพหะรูปเปรี้ยวมิตฐานสี่เหลี่ยมและมุม 136 ของตารางหัวกดพิเศษน้ำหนักของหัวกดที่กว้าง 100 กิโลกรัมแรงเป็นระยะเวลา 10-15 วินาที เส้นทางเดินของหัวกดจะเดินตามเส้นทางเดินที่มีการเลี้ยวของร่องกดจะถูกวัดโดยกล้องจุลทรรศน์และคำนวณค่าเฉลี่ยของคงที่ของเส้นทางเดินที่มีการเลี้ยวของร่องกดจะถูกคำนวณค่าความแข็งค่านวนจากผลหารจากค่าเฉลี่ยเส้นทางเดินที่มีการเลี้ยวของร่องกดเมื่อหารด้วยค่าความแข็งวิกเกอร์ค่านวนได้จากสูตร แต่จะทดสอบตามการคำนวณเมื่อใช้ค่าแรงดึงดูดต่อการทดสอบความแข็งวิกเกอร์ 800 โดยใช้เวลา 10 กิโลกรัมแรงกดให้ค่าความแข็งวิกเกอร์ค่านวนได้จากสูตร ซึ่งต้องการเปลี่ยนสเกลด้วยวิธีทดสอบความแข็งแบบอื่น [5]



รูปที่ 2.20 แสดงหลักการความแข็งวิกเกอร์

(ที่มา : <http://www.gordonengland.co.uk/hardness/vickers.htm>)

### สมการที่ใช้ในการทดสอบ

$$HV = \frac{\text{แรงกดทดสอบ} (F)}{\text{พื้นที่ที่ทดสอบโดยประมาณ} (S)} \quad (2.1)$$

พื้นที่ผิวทดสอบบุปผะมิติ

$$S = \frac{d^2 \sin(\alpha/2)}{2} \quad (2.2)$$

เมื่อ 0.102 คือ ค่าคงที่ที่ถูกนำมาเพื่อการเปลี่ยนหน่วยจาก kp/mm<sup>2</sup> เป็น N/mm<sup>2</sup>  
ดังนี้

$$\begin{aligned} HV &= \frac{0.102 \times 2F \sin(136/2)}{d^2} \\ &= \frac{0.1891F}{d^2} \end{aligned} \quad (2.3)$$

เมื่อ F = Test Force (N)

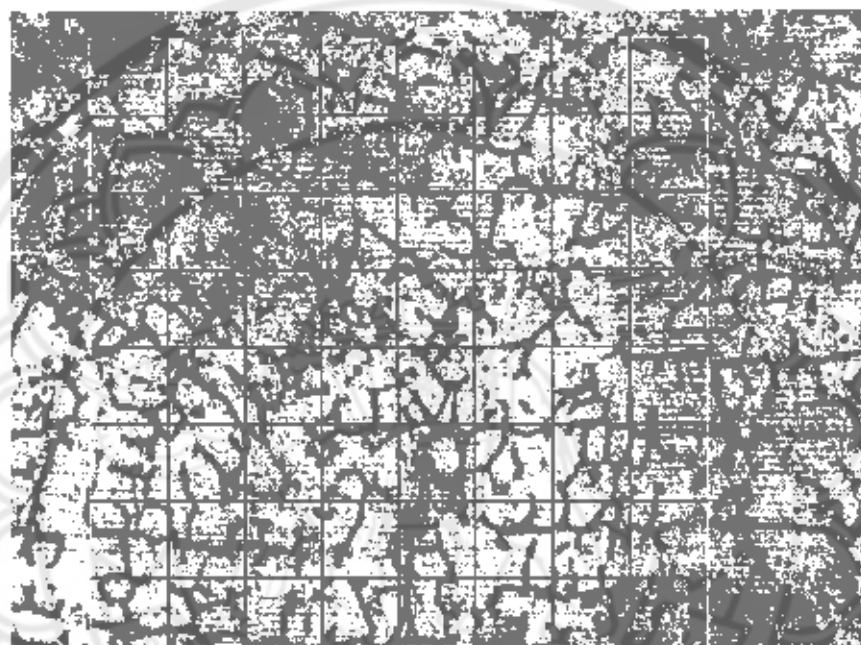
d = ค่าเฉลี่ยของเส้นทั้งสองมุมของร่องรอย (mm) = (d<sub>1</sub> + d<sub>2</sub>)/2

### เงื่อนไขการทดสอบ

1. เนื่องจากการทดสอบมีวัสดุทดสอบมีขนาดเส้นผ่านศูนย์กลางต้องให้มีวัสดุทดสอบผิวเรียบปราศจากออกไซด์หรือส่วนกากถ้าตกรตามาก่อนเพื่อที่จะได้เห็นโครงสร้างอุดuct ภาคและสามารถเดือดหัวน้ำโครงสร้างที่ต้องการได้
2. ความหนาของชิ้นงานทดสอบจะต้องเท่ากับที่ไม่ให้เกิดรอยได้ผิวชิ้นทดสอบทำหนดให้ความหนาต่ำสุดเพียง 1.5 เท่าของขนาดเส้นทั้งสองมุมร่องรอย (d)
3. อุณหภูมิที่ทดสอบอยู่ระหว่าง 10 °C - 35 °C
4. ระยะห่างระหว่างร่องรอยให้ถือตามเกณฑ์ดังนี้เหล็กกล้า (steel) ทองเหลือง (Brass) และทองแดง (Copper) ห่างอย่างน้อยที่สุด 3 เท่าของค่าความยาวเฉลี่ยเส้นทั้งสองมุมร่องรอย
5. การติดตั้งกล้องจะต้องมั่นคงไม่เสื่อมประสิทธิภาพและต้องผลให้ค่าร่องรอยที่ได้คลอดเคลื่อน
6. การให้แสงทดสอบจะต้องสว่างพอ
7. ให้เวลาทดสอบนานเพียงพอเมื่อต้องการเบรย์บันค่า
8. ขยายและมีแสงสว่างให้เพียงพอในภาชนะทดสอบเส้นทั้งสองมุมร่องรอย

## 2.6 การนับปริมาณเดลต้าเฟอร์ไรท์ด้วยวิธีการนับกึ่ง

วิธีการนับปริมาณเดลต้าเฟอร์ไรท์ (Delta ferrite) ด้วยวิธีการนับกึ่ง (Standard Test Method for Determining Volume Fraction by Systematic Manual Point Count) ได้โดยการนำภาพถ่ายโครงสร้างจุลภาคกำลังขยาย 500 เท่ามาทางด้วยกึ่งแล้วนับปริมาณของเดลต้าเฟอร์ไรท์ที่ผ่านเกณฑ์ดังกล่าวจากนั้นจึงนำจำนวนที่ได้ไปคำนวณในสูตรสมการด้านล่าง



รูปที่ 2.21 แสดงภาพด้วยป่างในการนับปริมาณเดลต้าเฟอร์ไรท์

$$P_i = \text{จำนวนกึ่งทั้งหมดใน 1 \text{ ภาพ}}$$

$$P_t = \text{จำนวนเดลต้าเฟอร์ไรท์ทั้งหมดที่นับได้ใน 1 \text{ ภาพ}}$$

$$P_n(i) = \frac{P_t}{P_i} \times 100 \quad (2.4)$$

$$n = \text{จำนวนภาพถ่ายที่ถ่ายในชั้นงาน 1 \text{ ชั้น}}$$

$$\bar{P}_n = \frac{1}{n} \sum_{i=1}^n P_n(i) = \text{ค่าเฉลี่ยคงจำนวนเดลต้าเฟอร์ไรท์ที่นับได้จากทุกภาพ} \quad (2.5)$$

$$s = \text{ค่าเบี่ยงเบนมาตรฐาน}$$

$V_v$  = ปริมาณสัดส่วนของเพลตเตลต้านเฟอร์ไรท์เป็นเปอร์เซ็นต์

$t$  = ตัวแปรสัมพันธ์ซึ่งหาได้จากจำนวนภาพที่หาค่าเดลต้าเฟอร์ไรท์เพิ่มไปจากตารางที่ 2.5

% RA = เปอร์เซ็นต์ความถูกต้อง

#### ตารางที่ 2.5 95 % Confidence Interval Multipliers

No. of Fields n	t	No. of Fields n	t
5	2.776	19	2.101
6	2.571	20	2.093
7	2.447	21	2.086
8	2.365	22	2.080
9	2.306	23	2.074
10	2.262	24	2.069
11	2.228	25	2.064
12	2.201	26	2.060
13	2.179	27	2.056
14	2.160	28	2.052
15	2.145	29	2.048
16	2.131	30	2.045
17	2.120	40	2.020
18	2.110	60	2.000
		x	1.960

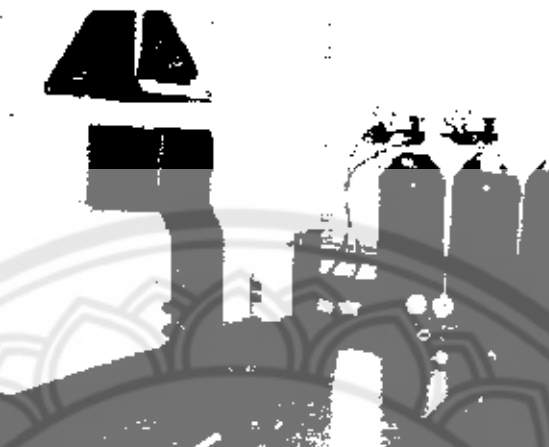
(ที่มา : ASM Metals Handbook E 562 – 02, ASM International)

$$95\% \text{ CI} = t \times \frac{s}{\sqrt{n}} \quad (2.6)$$

$$\bar{w} = P_p \pm 95\% \text{ CI} \quad (2.7)$$

$$\% \text{ RA} = \frac{95\% \text{ CI}}{\bar{P}_p} \times 100 \quad (2.8)$$

## 2.7 Atomic Absorption Spectrophotometer (AAS)



**รูปที่ 2.22 เครื่องวิเคราะห์โลหะหนัก Atomic Absorption Spectrophotometer (AAS)  
ยี่ห้อ GBC รุ่น Avenia pm**

(ที่มา : [http://www.thaiscience.com/lab\\_vol/p39/AAS.asp](http://www.thaiscience.com/lab_vol/p39/AAS.asp))

เทคโนโลยี AAS นี้อาศัยหลักการการดูดกลืนแสงจากจุดคอมบัสชันของตัวอย่างจากส่วนที่เป็นสูญญากาศที่ความเร็วค่าหนึ่งซึ่งเป็นค่าเฉพาะขึ้นอยู่กับชนิดของชาหุตั้งนั้น การตรวจสอบด้วยม่านแสงที่ถูกดูดกลืนในแต่ละขนาดที่ต่างกันจะสามารถบ่งบอกถึงชนิดและปริมาณของธาตุที่มีอยู่ในตัวอย่างได้ซึ่งการทำให้อะตอมภายในธาตุเกิดเป็นอะตอมอิสระได้นั้นจะต้องอาศัยหลังงานความร้อนไปกระตุ้นให้หกตัดมุกเกิดการแตกตัวหรือกลไกเป็นไอ [7]

เครื่อง AAS โดยส่วนใหญ่แล้วจะมีตัวบานงอนที่สำคัญตัวยักษัน 5 ตัวนี้ได้แก่

1. แหล่งกำเนิดแสงโดยที่วิ่งໄว้ไมล์และแหล่งกำเนิดแสงที่นิยมใช้ในเครื่อง AAS มีด้วยกัน 2 ชนิด คือ Hollow cathode lamp (HCL) และ Electrodeless discharge lamp (EDL) ซึ่งส่วนใหญ่จะเป็น HCL เพราะให้สีไฟตื้มรองแต่ได้ผลลัพธ์ค่าส่วนราชการตัวอย่างดีกว่า EDL ได้เก็บทุกชนิดและมีอายุการใช้งานสั้นและไม่สามารถตรวจสอบตัวอย่างที่กล้ายเป็นไฮโดรเจนได้ จึงจำเป็นต้องใช้ EDL เป็นแหล่งกำเนิดแสง ซึ่งให้แสงที่มีความเข้มสูงกว่าและมีความไวกว่า HCL มากเท่ากัน EDL ยังมีอายุการใช้งานที่ยาวนานกว่า HCL และยังไม่ก่อdamge ให้กับ EDL จะมีขนาดใหญ่กว่า HCL ตั้งนี้ EDL จึงเหมาะสมกับเครื่องมือที่มีระบบเติมแสงที่สามารถของรับภาพขนาดใหญ่ที่เกิดขึ้นเพ่านั้น

2. ส่วนที่ทำให้อาตุกถ่ายเป็นอะตอมอิสระ (Atomizer) Atomizer เป็นส่วนที่จะทำให้อาตุเกิด การแตกตัวถ่ายเป็นอะตอมอิสระโดยการใช้ความร้อนเป็นตัวทำลายพันธะที่มีอยู่ระหว่างอะตอม ซึ่งการทำให้อาตุเกิดการแตกตัวเป็นอะตอมนั้นสามารถทำได้หนาวยิ่งด้วยกัน ได้แก่

2.1 Flame Atomization วิธีการนี้จะใช้เปล่งไฟเพื่อ帮忙ในการทำให้สารตัวอย่างเกิดการแตกตัวเป็นอะตอมเพื่อจะเป็นตัวช่วยให้อุดหนภูมิที่แตกต่างกัน



รูปที่ 2.23 ขั้นตอนการทำให้อาตุกถ่ายเป็นอะตอมอิสระด้วยวิธีการต่อไปนี้

1. วิธีการ Flame Atomization
2. วิธีการ Graphite Furnace Atomization
3. วิธีการ Flame Atomization

(ที่มา : [http://www.thaiscience.com/lab\\_vol/p39/AS.asp](http://www.thaiscience.com/lab_vol/p39/AS.asp))

2.2 Flameless หรือ Non-flame Atomization วิธีการนี้เป็นวิธีการทำให้สารตัวอย่างแตกตัวเป็นอะตอมด้วยความร้อนที่ได้จากกระแสไฟฟ้า (electrothermal atomizer หรือ graphite furnace) ซึ่งสามารถตั้งค่าอุดหนภูมิในการเผาและเวลาให้มีค่าต่างๆ กันได้ โดยสามารถตั้งค่าอย่างใดรับความร้อนเพื่อระเหยียดตัวห้าละลายของไนโตรเจนแล้วให้ความร้อนเพิ่มสูงขึ้น (อาจสูงถึง 1,500 องศา เซลเซียส) เพื่อกำจัดสารอินทรีและสารอนินทรีให้เหลือเพียงแค่สารอินทรีที่เหลืออยู่เท่านั้น ซึ่งโดยทั่วไปจะอยู่ในรูปของโลหะออกไซด์หลังจากนั้นสารที่เหลืออยู่จะบูรณาการที่อุดหนภูมิสูง (อาจสูงถึง 3,000 องศาเซลเซียส) เพื่อให้สามารถถ่ายตัวถ่ายเป็นอะตอมอิสระ วิธีการนี้มีความไวกว่าวิธีการแรกและให้ปริมาณสารตัวอย่างน้อยกว่า แต่ต้องระวังการป่นเปื้อน

หรือการสูญเสียของสาร การเตรียมตัวอย่างทำได้เช่นสามารถวิเคราะห์สารที่เป็นของแข็งได้โดยตรงซึ่งอาจลดขั้นตอนการเตรียมตัวอย่างให้มาก โดยลักษณะเล็กๆจะผสมกับแก๊สเชื้อเพลิงและสารออกซิแทนท์ภายใน spray chamber หลังจากนั้นดึงทำละลายจะถูกทำจัดออกไปจนเกิดเป็นอนุญาตเป็นๆ ของสารประกอบนับ แล้วพัฒนาความร้อนจากเปลวไฟก็จะทำให้สารประกอบเหล่านี้เกิดการแตกตัวเป็นออกไซด์ ในสีกุล และออกซิเมทิลิค วิธีการนี้ให้ผลการวิเคราะห์ที่ดีง่าย สะดวก และใช้ประโยชน์ได้มาก แต่ความไวไม่สูงมากนัก

2.3 Hydride Generation หรือ Vapor Generation วิธีการหั่งสองวิธีที่กล่าวมาข้างต้นมีไว้สำหรับการทำให้ธาตุบางชนิดเกิดการแตกตัวได้ จึงต้องใช้วิธีที่ทำให้ธาตุเหล่านี้กลายเป็นสารที่เป็นไอได้ง่ายๆ ที่อุณหภูมิห้องด้วยการรีดิวชันให้ถูกหายเป็นไอไฮดริด แล้วให้ไฮดริดผ่านเตาโลหะไฟโดยเรื่อนจนธาตุนั้นๆ กลายเป็นพัฒนาต์มีติสระ ซึ่งธาตุเหล่านี้ได้แก่ As, Se, Te, Ge, Bi และ Sb ซึ่งวิธีการนี้ให้ความไวในการวิเคราะห์สูงแต่ต้องวิธีการแยกไม่ได้

2.4 Cold Vapor Generation วิธีการนี้ถือว่าเป็นวิธีการของ Flameless Atomization แบบ Hydride Generation เหมาะสำหรับการวิเคราะห์ธาตุที่สามารถเปลี่ยนแปลงให้เป็นไอได้ง่ายๆ โดยเฉพาะการวิเคราะห์ironที่มีปริมาณน้อยวิธีการในการวิเคราะห์แต่ละวิธีต่างกันมีลักษณะเฉพาะที่แตกต่างกันออกไป ซึ่งวิธีการทำเป็นที่นิยมใช้กันอยู่ทั่วไปคือสองวิธีการแยก

3. โนนิโคร์เมเตอร์และจากแหล่งกำเนิดจะคงบนตัวอย่างแล้วผ่านมายังโนนิโคร์เมเตอร์ จะทำหน้าที่ในการกระเจิงแสงของความค่าความยาวคลื่นต่างๆ ให้ไปตกยังเครื่องตรวจวัด

4. เครื่องตรวจวัดเครื่องตรวจวัดที่นิยมใช้ในเทคโนโลยี AAS นี้คือ PMT เป็นของจากให้ผลการตรวจวัดที่รวดเร็ว มีความไวสูง สามารถตรวจวัดปริมาณแสงที่มีความเข้มต่ำได้ดี แต่ผู้ผลิตบางรายก็เลือกที่จะใช้ solid state เป็นเครื่องตรวจวัด เพราะให้ค่าจำากัดการตรวจวัดที่ดีกว่า

5. เครื่องประมวลผลและอ่านผลลัพธ์เบย์กานที่ได้รับจากเครื่องตรวจวัดมักจะมีค่าความแรงต่อจีบีมีความจำเป็นต้องใช้อุปกรณ์เชิงขยายสัญญาณและแปลงให้เป็นค่า absorbance แล้วอ่านผลที่ได้ด้วย scale meter, digital meter, recorder/printer หรือคอมพิวเตอร์ซึ่งอยู่ในรูปที่สามารถนำไปใช้งานได้ทันที และตัวยการพัฒนาทางซอฟต์แวร์ช่วยให้ได้รับข้อมูลในการวิเคราะห์รวมที่ดีที่สุด และเป็นไปตามมาตรฐาน GLP

## 2.8 การพัฒนาส่วนผสมของเหล็กกล้าไร้สนิมและราคา

เหล็กกล้าไร้สนิมโครงสร้าง - แมงกานีสและเหล็กกล้าไร้สนิมที่มีโครงสร้างถูกพัฒนาขึ้นด้วยอุตสาหกรรมคือเพื่อเป็นการลดตัวเริมงานของน้ำยาเกลือในเหล็กกล้าไร้สนิม เนื่องจากในอดีตนั้นนิกเกิล มีราคาสูง ดังนั้นเหล็กกล้าไร้สนิมโครงสร้าง - แมงกานีสและเหล็กกล้าไร้สนิมที่มีโครงสร้างจึงเป็นวัสดุดีทางเลือกที่สามารถจะนำมาแทนที่เหล็กกล้าไร้สนิม AISI304

ทางเลือกแรกในการพัฒนาเหล็กกล้าไร้สนิมนั้นจะมองในส่วนของโครงสร้างของโลหะคอมบิเนชัน ความติดที่จะรักษาโครงสร้างโลหะสมด้วยการแทนนิกเกิลตัวยั่งยืนนี้ อย่างไรก็ตามการเพิ่มแมงกานีสลงในเหล็กกล้าไร้สนิมส่องให้เกิดการลดคุณสมบัติของวัสดุโดยเฉพาะคุณสมบัติทางด้านการป้องกันการกัดกร่อน

ส่วนอีกทางเลือกหนึ่งคือเหล็กกล้าไร้สนิมที่มีโครงสร้างถูกพัฒนาขึ้นด้วยการเพิ่มโครงสร้างและลดคาร์บอนเพื่อปรับปรุงและเพิ่มสมบัติการต้านทานการกัดกร่อน อย่างไรก็ตามฐานะที่เปลี่ยนแปลงไปทางด้านปรับปรุงคุณภาพของเหล็กกล้าให้มีความคงทนและแข็งแรงขึ้น ทำให้เกิดโครงสร้างทางอุตสาหกรรมเป็นเพื่อใช้โดยภาคจากอุดหนาเนื่องจากความยืดหยุ่นของเหล็กกล้าที่ต้องการต้านทานการกัดกร่อนของเหล็กกล้าไร้สนิม AISI304 เพื่อรักษาในอุณหภูมิที่มีการสนับสนุนในงานวิเคราะห์วัสดุโครงสร้างคือที่จะเผยแพร่ความรู้ความเข้าใจในพฤติกรรมการกัดกร่อนของเหล็กกล้าไร้สนิมโครงสร้าง - แมงกานีสและเหล็กกล้าไร้สนิมที่มีโครงสร้างให้ดียิ่งขึ้น [8]

**ตารางที่ 2.6 แสดงธาตุส่วนผสมของเหล็กกล้าไร้สนิม**

Wrought Stainless Steels								
Alloy	C	Mn	P	S	Si	Cr	Ni	Others
AISI304	0.08	2.00	0.045	0.030	1.00	19.00	9.25	-
AISI202	0.15	9.00	0.060	0.030	1.00	18.00	5.00	0.25N
NTKD-7	0.12	7.50	0.045	0.016	1.00	18.00	5.50	-
JFE443CT	0.01	1.00	0.040	0.030	1.00	21.00	-	0.4Cu,0.3Ti,0.01N

(ที่มา : [http://www2.mtec.or.th/th/research/faimd/lcenter/ss\\_comp.html](http://www2.mtec.or.th/th/research/faimd/lcenter/ss_comp.html))

สำหรับราคากลางเหล็กกล้าไร้สนิมนั้นจะมีราคาซึ่งอยู่กับธาตุนิเกิล (Ni) เป็นหลัก เช่นเหล็กกล้าไร้สนิม AISI304 ที่ใช้นิเกิล (Ni) เป็นส่วนผสมมากถึง 9.25% จะมีราคาแพงมากที่สุดรองลงมาคือเหล็กกล้าไร้สนิม NTKD / AISI202 และเหล็กกล้าไร้สนิม JFE 443CT ตามลำดับ